



ENVIRONMENTAL SCIENCE

ISSN 0250-3301 CODEN HCKHDV HUANJING KEXUE

北京城区PM2.5各组分污染特征及来源分析 安欣欣,曹阳,王琴,富佳明,王陈婧,景宽,刘保献



ENVIRONMENTAL SCIENCE

第43卷 第5期 2022年5月15日

目 次

, , , , , , , , , , , , , , , , , , ,	
北京城区 PM	251)
北京城区 PM _{2.5} 各组分污染特征及来源分析 ····································	2231)
基丁时至混合效应模型的京津異 PM _{2.5} 浓度受化模拟 泡丽行,杨晓辉,朱春杰,李梦诗,技继福,土上,李天星,李伟妙(2	2262)
2000~2018年京津冀城市群 PM _{2.5} 时空演变及其与城市扩张的关联····································	2274)
海-陆大气交汇作用下青岛冬季大气 PM、污染特征与来源解析 ····································	
	284)
硫酸盐非均相机制对颗粒物污染的影响:上海典型污染事件的 WRF-Chem 模拟	204)
" 你放益非均相仇刑对,积恒初行案的影响: 上海典型行案事件的 WKF-Chem 侯权	
	2294)
大原市冬季不同污染程度下 PM 的化学组成 消光特征及氧化港热	317)
$\Delta M_{\rm P}(r) \rightarrow r = 10^{1.5} {\rm Art}(Q) = 1$	220
Λ が用いて子人 Γ	.329)
省会城市不同功能区大气 PM2.5 化学组分季节变化及来源分析	
	2336)
承德市 PM、中多环芳烃的季节分布特征、来源解析及健康风险评价 ·······	
双埔文 县宴宴 李仪琳 剪索形 极油 崖建升 瓜亚亚 工帅 侯晓松 (2	2/3)
# Emp FM _{2.5} 中多叶方层的学 17 和存证、不称解析及健康风险计划 贺博文,聂赛赛,李仪琳,郭睿瑶,姚波,崔建升,冯亚平,王帅,侯晓松(2 珠三角大气中二 噻 英污染水平与区域迁移	373)
环二用人气中一噻央行采外于马区项汇修	
·····································	2355)
华北平原南部农村地区黑碳气溶胶浓度及来源 张为、北京、大水、大水、大水、大水、大水、大水、大水、大水、大水、大水、大水、大水、大水、	2363)
其干模式计程分析技术天津地区 PM 污染气象成因分析 ·························· 郝囝 蒸子颖 韩麦芹 杨旭 樊文雁 姚青 邱晓定(?	2373)
其三排油量和十年后应活性的 VOC. 污渍面分级烧到	383)
至1 III从里相八(X座们注时 VOG 17末断月次注册	2005)
基丁复采网络的中国吴氧拓扑特值	2395)
基于前体物多情景排放的兰州市 2030 年夏李狊氧预测 陈天雷,吴敏,潘成珂,常莉敏,李泱,刘鹏,高宏,黄韬,马建民(2	2403)
基于源反演和气溶胶同化方法天津空气质量模式预报能力改进 蔡子颖, 唐邈, 肖致美, 杨旭, 朱玉强, 韩素芹, 徐虹, 邱晓滨 (2	2415)
其干穴气质量贮测粉据的钢铁行业污洗源识别方法 石黎聪 胡克南 法肠帐 段善春 胡五禽 卧面娜 已验验(2	127
至于工 (灰里血肉双角甲的水门亚门木体区)刀位 在水内 17年期,则不用,阳为州,仅有谷,则内参,及田州,口之之(五五六州、江京中北连港八加 至日八海校中州南美安市中海田广河中	1426)
里行架大气应对 绩效疗效、差异化官径 宿旭自伏头跋效米后评怕	(436)
黄河流域水污染风险分区	2448)
黄河流域甘肃段工业行业水污染物空间排放特征 李雪迎、杨曦、乔琦、刘丹丹、张玥、赵若楠、白璐(2	2459)
黄河沉积物重全属时空分布与污染评价	2467)
ADCS MID 处去 DMD 特别秘证图门本社验诉郑宏棣宏和畅入民业报	1176
ArUS-MLD 与自 FMF 快至肝机度门首怀得见为加吸机伏彻壶属不源 ··········· 儿辰寸,自证,「牺廷,明孙江,崔廷尹,颇妍,奥丰州(2	4/0)
河流低泥 DOM、宫养盐与重金属空间分异特征及啊应关系 ··································· 肖艳春,寸会彬,宋永会(2	2489)
太原市汾河河岸带土壤重金属分布特征、评价与来源解析 胡杰,赵心语,王婷婷,苟奎贤,王春玲(2	2500)
世泽湖溶解杰有机质与重全属汞的结合特性····································	2510 Ĵ
宣告美化亚马下西宫地方任本史大多公宫化劫流。 如此结	510)
虽自分化驰列下四环侧日十木生态示机偶化机型	2318)
基于 DGT 技术的贞河上游典型水库孔积物氮磷释放与污染源解析	
基于前体物多情景排放的兰州市 2030 年夏季臭氧预测 陈天雷,吴敏,潘成珂,常莉敏,李泱,刘鹏,高宏,黄韬,马建民(2基于源反演和气溶胶同化方法天津空气质量模式预报能力改进	2527)
	- ' /
	- ' /
	- ' /
	- ' /
	- ' /
	- ' /
	- ' /
	- ' /
	- ' /
	- ' /
暴雨前后河南北部河流水质分异特征及其污染源解析 *** *** *** *** *** *** *** *** *** *	2537) 2548) 2557) 2566) 2575) 2586) 2595)
暴雨前后河南北部河流水质分异特征及其污染源解析 *** *** *** *** *** *** *** *** *** *	2537) 2548) 2557) 2566) 2575) 2586) 2595)
暴雨前后河南北部河流水质分异特征及其污染源解析 *** *** *** *** *** *** *** *** *** *	2537) 2548) 2557) 2566) 2575) 2586) 2595)
暴雨前后河南北部河流水质分异特征及其污染源解析 *** *** *** *** *** *** *** *** *** *	2537) 2548) 2557) 2566) 2575) 2586) 2595)
暴雨前后河南北部河流水质分异特征及其污染源解析 *** *** *** *** *** *** *** *** *** *	2537) 2548) 2557) 2566) 2575) 2586) 2595)
暴雨前后河南北部河流水质分异特征及其污染源解析 李文刚,吴希思,简敏非,刘淑丽,刘海球,丁惠君(2	2537) 2548) 2557) 2566) 2575) 2586) 2575) 2606) 2614) 2624)
暴雨前后河南北部河流水质分异特征及其污染源解析 张彦, 邻磊, 梁志杰, 窦明, 李平, 黄仲冬, 齐学斌 (2番阳湖流域水葫芦(Eichhornia crassipes) 对水体微塑料的吸附截留效应 李文刚, 吴希思, 简敏菲, 刘淑丽, 刘海球, 丁惠君 (2太湖塑料添加剂时空分布和生态风险评价	2537) 2548) 2557) 2566) 2575) 2586) 2575) 2606) 2614) 2624) 2633) 2640) 2650) 2662) 2673)
暴雨前后河南北部河流水质分异特征及其污染源解析 张彦, 邻磊, 梁志杰, 窦明, 李平, 黄仲冬, 齐学斌 (2番阳湖流域水葫芦(Eichhornia crassipes) 对水体微塑料的吸附截留效应 李文刚, 吴希思, 简敏菲, 刘淑丽, 刘海球, 丁惠君 (2太湖塑料添加剂时空分布和生态风险评价	2537) 2548) 2557) 2566) 2575) 2586) 2575) 2606) 2614) 2624) 2633) 2640) 2650) 2662) 2673)
暴雨前后河南北部河流水质分异特征及其污染源解析 张彦, 邻磊, 梁志杰, 窦明, 李平, 黄仲冬, 齐学斌 (2番阳湖流域水葫芦(Eichhornia crassipes) 对水体微塑料的吸附截留效应 李文刚, 吴希思, 简敏菲, 刘淑丽, 刘海球, 丁惠君 (2太湖塑料添加剂时空分布和生态风险评价	2537) 2548) 2557) 2566) 2575) 2586) 2575) 2606) 2614) 2624) 2633) 2640) 2650) 2662) 2673)
暴雨前后河南北部河流水质分异特征及其污染源解析 张彦, 邻磊, 梁志杰, 窦明, 李平, 黄仲冬, 齐学斌 (2番阳湖流域水葫芦(Eichhornia crassipes) 对水体微塑料的吸附截留效应 李文刚, 吴希思, 简敏菲, 刘淑丽, 刘海球, 丁惠君 (2太湖塑料添加剂时空分布和生态风险评价	2537) 2548) 2557) 2566) 2575) 2586) 2575) 2606) 2614) 2624) 2633) 2640) 2650) 2662) 2673)
暴雨前后河南北部河流水质分异特征及其污染源解析 张彦, 邻磊, 梁志杰, 窦明, 李平, 黄仲冬, 齐学斌 (2番阳湖流域水葫芦(Eichhornia crassipes) 对水体微塑料的吸附截留效应 李文刚, 吴希思, 简敏菲, 刘淑丽, 刘海球, 丁惠君 (2太湖塑料添加剂时空分布和生态风险评价	2537) 2548) 2557) 2566) 2575) 2586) 2575) 2606) 2614) 2624) 2633) 2640) 2650) 2662) 2673)
暴雨前后河南北部河流水质分异特征及其污染源解析 张彦, 邻磊, 梁志杰, 窦明, 李平, 黄仲冬, 齐学斌 (2番阳湖流域水葫芦(Eichhornia crassipes) 对水体微塑料的吸附截留效应 李文刚, 吴希思, 简敏菲, 刘淑丽, 刘海球, 丁惠君 (2太湖塑料添加剂时空分布和生态风险评价	2537) 2548) 2557) 2566) 2575) 2586) 2575) 2606) 2614) 2624) 2633) 2640) 2650) 2662) 2673)
暴雨前后河南北部河流水质分异特征及其污染源解析 张彦, 邻磊, 梁志杰, 窦明, 李平, 黄仲冬, 齐学斌 (2番阳湖流域水葫芦(Eichhornia crassipes) 对水体微塑料的吸附截留效应 李文刚, 吴希思, 简敏菲, 刘淑丽, 刘海球, 丁惠君 (2太湖塑料添加剂时空分布和生态风险评价	2537) 2548) 2557) 2566) 2575) 2586) 2575) 2606) 2614) 2624) 2633) 2640) 2650) 2662) 2673)
暴雨前后河南北部河流水质分异特征及其污染源解析 张彦, 邻磊, 梁志杰, 窦明, 李平, 黄仲冬, 齐学斌 (2番阳湖流域水葫芦(Eichhornia crassipes) 对水体微塑料的吸附截留效应 李文刚, 吴希思, 简敏菲, 刘淑丽, 刘海球, 丁惠君 (2太湖塑料添加剂时空分布和生态风险评价	2537) 2548) 2557) 2566) 2575) 2586) 2575) 2606) 2614) 2624) 2633) 2640) 2650) 2662) 2673)
暴雨前后河南北部河流水质分异特征及其污染源解析 张彦, 邻磊, 梁志杰, 窦明, 李平, 黄仲冬, 齐学斌 (2番阳湖流域水葫芦(Eichhornia crassipes) 对水体微塑料的吸附截留效应 李文刚, 吴希思, 简敏菲, 刘淑丽, 刘海球, 丁惠君 (2太湖塑料添加剂时空分布和生态风险评价	2537) 2548) 2557) 2566) 2575) 2586) 2575) 2606) 2614) 2624) 2633) 2640) 2650) 2662) 2673)
暴雨前后河南北部河流水质分异特征及其污染源解析 张彦, 邻磊, 梁志杰, 窦明, 李平, 黄仲冬, 齐学斌 (2番阳湖流域水葫芦(Eichhornia crassipes) 对水体微塑料的吸附截留效应 李文刚, 吴希思, 简敏菲, 刘淑丽, 刘海球, 丁惠君 (2太湖塑料添加剂时空分布和生态风险评价	2537) 2548) 2557) 2566) 2575) 2586) 2575) 2606) 2614) 2624) 2633) 2640) 2650) 2662) 2673)
暴雨前后河南北部河流水质分异特征及其污染源解析 张彦, 邻磊, 梁志杰, 窦明, 李平, 黄仲冬, 齐学斌 (2番阳湖流域水葫芦(Eichhornia crassipes) 对水体微塑料的吸附截留效应 李文刚, 吴希思, 简敏菲, 刘淑丽, 刘海球, 丁惠君 (2太湖塑料添加剂时空分布和生态风险评价	2537) 2548) 2557) 2566) 2575) 2586) 2575) 2606) 2614) 2624) 2633) 2640) 2650) 2662) 2673)
暴雨前后河南北部河流水质分异特征及其污染源解析 张彦, 邻磊, 梁志杰, 窦明, 李平, 黄仲冬, 齐学斌 (2番阳湖流域水葫芦(Eichhornia crassipes) 对水体微塑料的吸附截留效应 李文刚, 吴希思, 简敏菲, 刘淑丽, 刘海球, 丁惠君 (2太湖塑料添加剂时空分布和生态风险评价	2537) 2548) 2557) 2566) 2575) 2586) 2575) 2606) 2614) 2624) 2633) 2640) 2650) 2662) 2673)
暴雨前后河南北部河流水质分异特征及其污染源解析 张彦, 邻磊, 梁志杰, 窦明, 李平, 黄仲冬, 齐学斌 (2番阳湖流域水葫芦(Eichhornia crassipes) 对水体微塑料的吸附截留效应 李文刚, 吴希思, 简敏菲, 刘淑丽, 刘海球, 丁惠君 (2太湖塑料添加剂时空分布和生态风险评价	2537) 2548) 2557) 2566) 2575) 2586) 2575) 2606) 2614) 2624) 2633) 2640) 2650) 2662) 2673)
暴雨前后河南北部河流水质分异特征及其污染源解析 张彦, 邻磊, 梁志杰, 窦明, 李平, 黄仲冬, 齐学斌 (2番阳湖流域水葫芦(Eichhornia crassipes) 对水体微塑料的吸附截留效应 李文刚, 吴希思, 简敏菲, 刘淑丽, 刘海球, 丁惠君 (2太湖塑料添加剂时空分布和生态风险评价	2537) 2548) 2557) 2566) 2575) 2586) 2575) 2606) 2614) 2624) 2633) 2640) 2650) 2662) 2673)
暴雨前后河南北部河流水质分异特征及其污染源解析 张彦, 邻磊, 梁志杰, 窦明, 李平, 黄仲冬, 齐学斌 (2番阳湖流域水葫芦(Eichhornia crassipes) 对水体微塑料的吸附截留效应 李文刚, 吴希思, 简敏菲, 刘淑丽, 刘海球, 丁惠君 (2太湖塑料添加剂时空分布和生态风险评价	2537) 2548) 2557) 2566) 2575) 2586) 2575) 2606) 2614) 2624) 2633) 2640) 2650) 2662) 2673)
暴雨前后河南北部河流水质分异特征及其污染源解析 张彦, 邻磊, 梁志杰, 窦明, 李平, 黄仲冬, 齐学斌 (2番阳湖流域水葫芦(Eichhornia crassipes) 对水体微塑料的吸附截留效应 李文刚, 吴希思, 简敏菲, 刘淑丽, 刘海球, 丁惠君 (2太湖塑料添加剂时空分布和生态风险评价	2537) 2548) 2557) 2566) 2575) 2586) 2575) 2606) 2614) 2624) 2633) 2640) 2650) 2662) 2673)
暴雨前后河南北部河流水质分异特征及其污染源解析	2537) 2548) 2557) 2566) 2575) 2586) 2575) 2606) 2614) 2624) 2633) 2640) 2650) 2662) 2673)
暴雨前后河南北部河流水质分异特征及其污染源解析	2537) 2548) 2557) 2566) 2575) 2586) 2575) 2606) 2614) 2624) 2633) 2640) 2650) 2662) 2673) 2685) 2779) 2771) 27751) 27751) 27779) 27788)



华北平原南部农村地区黑碳气溶胶浓度及来源

张玲1,孔少飞1*,郑煌1,胡尧1,曾昕1,程溢1,祁士华1,2

(1. 中国地质大学(武汉)环境学院,武汉 430074; 2. 中国地质大学(武汉)生物地质与环境地质国家重点实验室,武汉 430074)

摘要: 华北平原南部地区是当前我国大气污染的严重区域之一. 作为连接南北方大气污染传输的关键区域,其大气环境研究相对薄弱. 在华北平原南部某农村点位利用 AE-33 型黑碳仪,对 2018 年 2~8 月的黑碳(BC)气溶胶进行连续监测,采用光度计模型解析了黑碳来源. 观测期间 ρ (BC)的平均值为(3.51±2.29) μ g·m⁻³,冬季、春季和夏季的 ρ (BC)平均值分别为(8.21±3.26)、(3.49±1.69)和(2.37±0.71) μ g·m⁻³. BC 的季节性变化由气象因素和排放源的季节性变化共同导致. ρ (BC)日变化在 08;00[(4.66±3.24) μ g·m⁻³]和 20;00[(4.25±6.73) μ g·m⁻³]出现峰值,与居民做饭时间一致;在 14;00[(2.44±3.33) μ g·m⁻³]出现谷值,与边界层高度较高有关. 气溶胶波长吸收指数(AAE)在 1.08~1.66之间,冬季、春季和夏季的 AAE平均为 1.41±0.08、1.28±0.10 和 1.20±0.06,表明该区域的 BC来源以化石燃料燃烧为主. 冬季生物质燃烧排放对 BC的贡献率最高[(41±12)%],与冬季居民燃烧木柴、秸秆等生物质燃料有关. 冬季和春季受北方气团(40%)传输影响明显,夏季受南方气团(34%)传输影响明显. 柴火堆取暖和民用煤炉使用等局地人为活动,以及周边区域气流的输送会导致该点位冬季BC浓度较高. 研究结果对于了解农村地区黑碳气溶胶的浓度、来源及光学性质具有重要意义,也可为南方和北方大气污染物相互传输影响研究提供关键节点的数据支撑.

关键词:黑碳气溶胶: 华北平原南部: 农村地区: 来源解析: 源区分布

中图分类号: X513 文献标识码: A 文章编号: 0250-3301(2022)05-2363-10 DOI: 10.13227/j. hjkx. 202108052

Concentrations and Sources of Black Carbon Aerosols in Rural Areas of Southern North China Plain

 $ZHANG\ Ling^1\ ,\ KONG\ Shao-fei^{1\ *}\ ,\ ZHENG\ Huang^1\ ,\ HU\ Yao^1\ ,\ ZENG\ Xin^1\ ,\ CHENG\ Yi^1\ ,\ QI\ Shi-hua^{1,2}\$

(1, School of Environmental Studies, China University of Geosciences, Wuhan 430074, China; 2. State Key Laboratory of Biogeology and Environmental Geology, China University of Geosciences, Wuhan 430074, China)

Abstract: The southern North China Plain is currently one of the regions with serious air pollution in China. Despite its role as a key connection region for air mass transportation between south and north China, there are still few studies on the atmospheric environment in this region. To obtain the levels and sources of black carbon (BC) aerosol, an online continuous measurement of BC by Aethalometer Model AE-33 was conducted at a rural site in the southern North China Plain. The results indicated that the average $\rho(BC)$ was $(3.51\pm2.29)~\mu g \cdot m^{-3}$ during the observation period, and the average $\rho(BC)$ were (8.21 ± 3.26) , (3.49 ± 1.69) , and $(2.37\pm0.71)~\mu g \cdot m^{-3}$ in winter, spring, and summer, respectively. The seasonal variation in $\rho(BC)$ was caused by the variations in meteorological factors and emission sources. $\rho(BC)$ peaked at 08 ± 00 [$(4.66\pm3.24)~\mu g \cdot m^{-3}$] and 20 ± 00 [$(4.25\pm6.73)~\mu g \cdot m^{-3}$] within one day, which was consistent with the cooking time of local residents. The valley value appeared at 14 ± 00 [$(2.44\pm3.33)~\mu g \cdot m^{-3}$] during the day, which was mainly related to the high boundary layer height. The aerosol absorption exponent (AAE) was between 1.08-1.66, and the average values were 1.41 ± 0.08 , 1.28 ± 0.10 , and 1.20 ± 0.06 in winter, spring, and summer, respectively. This indicated that fossil fuel burning was a main source of BC in the rural area of this region. In winter, the contribution of biomass fuel burning emissions to BC was the highest [$(41\pm12)\%$], which was related to the frequent burning activities of wood, straw, and other biomass fuels by local residents. The influence of northern air masses (40%) was obvious in winter and spring, and the influence of southern air masses (34%) was obvious in summer. The higher BC concentrations in winter were related to local human activities such as firewood heating and civil coal furnaces, as well as the long-range transportation of air masses. This study is helpful for understanding the concentration, source

黑碳(black carbon, BC)气溶胶来自于化石燃料和生物质燃料的不完全燃烧过程^[1]. BC 具有正辐射强迫,是仅次于 CO₂ 的对全球变暖产生重要影响的大气成分^[2,3]. BC 能改变大气的垂直结构和稳定性,从而影响全球大气和水文循环^[4]. BC 也能吸附有毒有害物质,对人体健康造成危害^[5~7]. 准确识别BC 来源,是识别和减缓其气候、环境和健康效应的基础.

BC 来源解析的主要研究方法有排放清单 法^[8]、光度计模型法^[9]和碳同位素溯源法^[10]等. Wang 等^[11]的研究使用排放清单法编制了全国 BC 排放清单,发现 BC 排放的最大来源是民用燃煤,并估算 2050 年全国 BC 排放量为 920~2 183 Gg; Zhang 等^[12]使用光度计模型法对 6 个特大城市环境空气中 BC 的浓度和来源开展研究,发现北方城市

收稿日期: 2021-08-06; 修订日期: 2021-10-13

基金项目: 国家自然科学基金项目(41830965, 42077202); 湖北省 科技厅技术创新专项重大项目(2017ACA089)

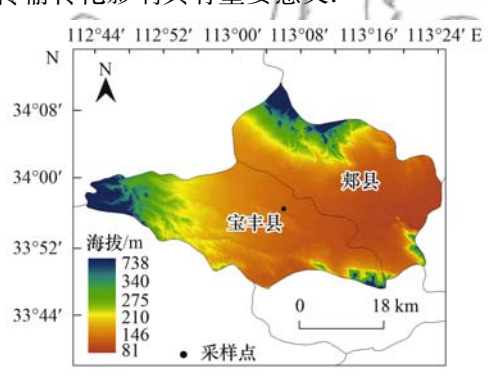
作者简介: 张玲(1997~),女,硕士研究生,主要研究方向为棕碳及 黑碳气溶胶的浓度特征和来源解析, E-mail;852076300@ qq.

* 通信作者,E-mail;kongshaofei@cug.edu.cn

的 BC 浓度水平高于南方城市,广州和武汉的液体燃料燃烧对 BC 的贡献较大; Ni 等^[13]利用碳同位素溯源法对北京和西安地区大气中 BC 的研究发现,雾、霾期间 BC 主要来源于化石燃料燃烧,其次为生物质燃烧.

BC 的源排放具有明显的时间^[11]和空间^[14]差异. 当前我国的 BC 研究主要集中在城市地区,对其它类型点位的研究较少. Chen 等^[15]的研究发现,农村地区的年雾、霾日数高于城市地区,需要更多地关注农村地区大气环境污染问题. Wang 等^[16]的研究指出,农村地区存在着更加显著的"穹顶效应",即 BC 通过和气溶胶-大气边界层的相互作用来抑制边界层发展,从而加重霾污染.

华北平原地区空气污染问题严重^[17~19].该地区既是我国农村人口分布密集的地区^[20],也是 BC 排放密集的地区^[21].华北平原南部地区位于华北平原和两湖平原、长三角地区大气污染传输的关键位置^[22],对该区域大气环境的观测研究,对于理解污染物跨区域传输转化影响具有重要意义.



基于此,本研究选择华北平原南部的某农村地区,对该点位 BC 开展连续在线观测,探讨华北平原南部典型农村地区的 BC 浓度变化.采用黑碳仪光度计模型和浓度权重轨迹分析法(CWT)^[23],分析该地区 BC 的来源和区域传输,以期为该区域大气污染防控和污染物跨区域传输转化影响研究提供基础数据支撑.

1 材料与方法

1.1 观测地点和时间

观测地点位于河南省平顶山市某农村居民住房屋顶(33.94°N,113.10°E,海拔高度112 m,图1),观测站点离地面约5 m.观测点西南方9 km处为宝丰县城,东北方11 km处是郏县县城,观测点附近修有多条高速公路(G36)、省道(S238、S231)和乡镇公路.观测点附近有大面积农田,周围无明显工业污染源.

本研究的观测时间为 2018 年 2 月 12 日 ~ 8 月 8 日,其中 2 月为冬季, 3 ~ 5 月为春季, 6 ~ 8 月为 夏季.



图1 采样点位示意

Fig. 1 Location and surroundings of the sampling site

1.2 仪器和方法

1.2.1 观测仪器

本研究采用 AE-33 型黑碳仪测量大气中的 BC 浓度. 该仪器有 7 个不同波长的采集通道(370、470、520、590、660、880 和 950 nm). 本研究以 880 nm 处所测数据代表大气环境中实际 BC 浓度. 采样口连接 $PM_{2.5}$ 切割头,流量为 5 L·min⁻¹,每 60 s 采样一次,采样精度为 1 ng·m^{-3} .

BC浓度的测定基于光学测量法. 黑碳仪中的石英滤带连续采集空气中的气溶胶样品, 当光源照射滤纸时, 因BC吸收可见光而导致光的衰减, 如公式(1):

$$ATN = -100 \ln(I/I_0)$$
 (1)

式中,ATN 为光衰减量,I 和 I_0 分别为通过样品滤带和空白滤带的光照强度.BC 的吸光系数 b_{abs} 如公式(2):

$$b_{\rm abs} = \frac{S \times (\Delta ATN/100)}{F_1 \times \Delta t \times C}$$
 (2)

式中, b_{abs} 为光衰减系数,S 为格点区域, F_1 为实际流量,t 为时间,C 为多重散射参数;AE-33 型黑碳仪采用双点位技术消除负载效应带来的误差,提高测量的准确性. 当负载效应出现时,BC 与 ATN 呈线性关系,如公式(3);

$$BC = BC_{\text{measured}} / (1 - k \times ATN)$$
 (3)

式中, $BC_{measured}$ 为无负载效应下的理想 BC 值, k 为负载补偿参数;两个不同负载程度的衰减点可计算出 k 值以及补偿到零载时的 BC 值,如公式(4)和(5):

$$BC1 = BC \times (1 - k \times ATN1) \tag{4}$$

$$BC2 = BC \times (1 - k \times ATN2) \tag{5}$$

1.2.2 黑碳仪模型

黑碳仪模型被广泛用于识别化石燃料 (fossil

fuel, ff)和生物质燃料燃烧(biomass burning, bb)对 BC 的贡献率. 模型中假定大气环境中的 BC 来源于 化石燃料燃烧排放的 BC(BC_{ff})和生物质燃烧排放 的 $BC(BC_{bb})$,某一波段下的 BC 吸收如公式(6):

 $b_{\text{abs}}(BC) = b_{\text{abs}}(BC_{\text{ff}}) + b_{\text{abs}}(BC_{\text{bb}})$ 式中, $b_{abs}(BC_{ff})$ 为化石燃料燃烧排放 BC 的吸收系 数, $b_{abs}(BC_{bb})$ 为生物质燃烧排放 BC 的吸收系数. BC 可以吸收紫外到红外波段的光,BC 对光吸收依 赖性的大小通常用波长吸收指数 AAE 来描 述[22,24]. 生物质燃烧产生的 BC 吸收系数对短波 (370 nm 或 470 nm)的吸收作用远强于对长波(880 nm 或 950 nm) 的吸收作用^[25,26]. b_{abs}、波长、化石 燃料燃烧和生物质燃烧对应的 AAE 关系,以及生物 质燃烧排放 BC 的贡献率,可由公式(7)~(11)得 到. 通常选择 AAE_{ff}为 1. 0^[22], AAE_{bb}为 2. 0^[27].

$$\frac{b_{\text{abs}}(370)_{\text{ff}}}{b_{\text{abs}}(880)_{\text{ff}}} = \left(\frac{370}{880}\right)^{-\text{AAE}_{\text{ff}}} \tag{7}$$

$$\frac{b_{\text{abs}}(370)_{\text{bb}}}{b_{\text{abs}}(880)_{\text{bb}}} = \left(\frac{370}{880}\right)^{-\text{AAE}_{\text{bb}}}$$
(8)

$$b_{\text{abs}}(370) = b_{\text{abs}}(370)_{\text{ff}} + b_{\text{abs}}(370)_{\text{bb}}$$
 (9)

$$b_{\text{abs}}(880)_{\text{bb}} (880)$$

 $b_{\text{abs}}(370) = b_{\text{abs}}(370)_{\text{ff}} + b_{\text{abs}}(370)_{\text{bb}} (9)$
 $b_{\text{abs}}(880) = b_{\text{abs}}(880)_{\text{ff}} + b_{\text{abs}}(880)_{\text{bb}} (10)$

bb =
$$[b_{abs}(880)_{bb}/b_{abs}(880)] \times 100\%$$
 (11)

1.3 浓度权重轨迹分析法

本文通过浓度权重轨迹分析法(CWT)[23] 计算 对观测点位 BC 浓度有贡献的地区. 本研究使用 Meteoinfo 软件中的 TrajStat 插件对采样点 250 m 高 度处的气团轨迹进行后向 24 h 的轨迹模拟,之后将 气流轨迹覆盖区间划分为 0.5° × 0.5°的网格,通过 下式计算浓度权重:

$$c_{ij} = \left(\sum_{l=1}^{m} c_l \times \tau_{ijl} / \sum_{l=1}^{m} \tau_{ijl} \right) \times W_{ij}$$
 (12)

式中, c_{ii} 为浓度权重,该值越大,则该气团来自 BC 潜在源区的可能性就越大. m 为第 ij 格内的轨迹条

数; c_i 为经过第 ij 格的 BC 浓度; τ_{ii} 为该条轨迹在 第ij格停留的时间; W_{ii} 为权重函数,用来对CWT算 法进行矫正.

2 结果与讨论

生物质燃烧排放气溶胶的 AAE 通常介于 1.57 ~2.27 之间^[24], 化石燃料燃烧排放气溶胶的 AAE 在 0. 97~1. 12 之间^[25]. 为计算不同 AAE 组合下黑 碳仪光度计模型的不确定度,本文采用蒙托卡洛模 拟计算. 依据公式(6)~(10)构建方程,其中 b_{obs} 1 和 babs 6 满足偏态分布; AAEbb 和 AAEg 满足均匀分 布,其分布范围如上所述. 为充分评估不同计算参数 组合下的结果,本研究模拟次数选择100万次.需要 说明的是蒙托卡洛模拟会产生无意义的结果(BC, 和 BC, 的计算结果均为负值等情况), 本研究剔除 这些模拟结果,最终得到 BC,平均贡献率为 58.0% (95% 置信区间为 57.8%~58.1%), BCbb 平均贡献 率为 42.0% (95% 置信区间为 41.9%~42.1%)

2.1 BC 浓度与 AAE 的基本特征

本研究期间 $\rho(BC)$ 的平均值为(3.51 ± 2.29) $\mu g \cdot m^{-3}$,与城市地区相比(表1),观测点位的 BC 浓 度低于邯郸、北京和济南,高于上海、南京和天津. 人口、车辆和工业集中的大城市具有较高浓度的 BC 排放[27]. 华北平原北部地区的 BC 浓度高于南部 地区. 与城市郊区相比,观测点位的 BC 浓度低于石 家庄郊区,高于南京郊区、上海郊区和北京郊区,呈 现出 BC 浓度由北向南降低的规律. 与农村地区相 比,观测点位的 BC 浓度低于河北香河,高于安徽寿 县,在从北到南的农村地区里 BC 浓度呈现出逐渐 降低的趋势. 观测点位的 BC 浓度在典型城市地区 和城市郊区处于中等水平,表明该点位处于南北方 传输的关键节点区域,可以反映出南北方大气污染 物浓度的空间分布差异.

城市城区、郊区与农村地区 BC 浓度的对比

地点	采样点环境	采样日期(年-月)	ρ(BC) 平均值/μg·m ⁻³	文献
北京	城市	2015-09 ~ 2016-02	5. 31 ± 6. 26	[28]
天津	城市	2019-01 ~2019-12	3.42 ± 2.46	[29]
邯郸	城市	2013-03 ~ 2017-02	7. 38	[30]
济南	城市	2018-09 ~ 2019-01	4.60 ± 2.50	[31]
上海	城市	2016-06 ~ 2017-06	1. 17 ± 0.61	[32]
南京	城市	2018-04 ~ 2018-12	3.07 ± 1.42	[33]
南京	郊区	2016-01 ~ 2016-12	1.33 ± 1.20	[34]
石家庄	郊区	2018-09 ~ 2019-07	4.35 ± 3.59	[35]
上海	郊区	2016-06 ~ 2017-06	2.09 ± 0.97	[32]
北京	郊区	2018-08 ~ 2018-09	3.18 ± 2.38	[36]
香河	农村	2014-04 ~ 2015-05	4.90 ± 4.30	[37]
寿县	农村	2015-11 ~2016-11	2. 84	[38]
河南	农村	2018-02 ~2018-08	3.51 ± 2.29	本研究

本研究期间 AAE 介于 1.08~1.66 之间(图 2),平均值为 1.27±0.17. 观测期间 AAE 的平均值 更加接近化石燃料燃烧排放气溶胶的 AAE,表明化 石燃料燃烧是该地区大气中 BC 的最主要来源. BC 源解析结果同样表明,观测期间 BC_{ff}的贡献率为(72±10)%,是大气中 BC 最主要的来源.生物 质燃烧是 BC 的另一个重要来源.研究区域未采取集中供暖,居民取暖以燃烧玉米秸秆、木柴、树枝

和电暖片等为主,当地冬季 AAE 平均值最高 (1.41±0.08),春季次之(1.28±0.10),夏季最低(1.20±0.06). 黑碳仪光度计模型的定量结果也表明,冬季生物质燃烧排放 BC 的贡献率最高 [(41±12)%],夏季的贡献率最低[(20±4)%].该点位 BC 浓度和 AAE 的季节变化特征表明,华北平原南部农村地区冬季生物质燃烧排放的污染物需要引起重视.

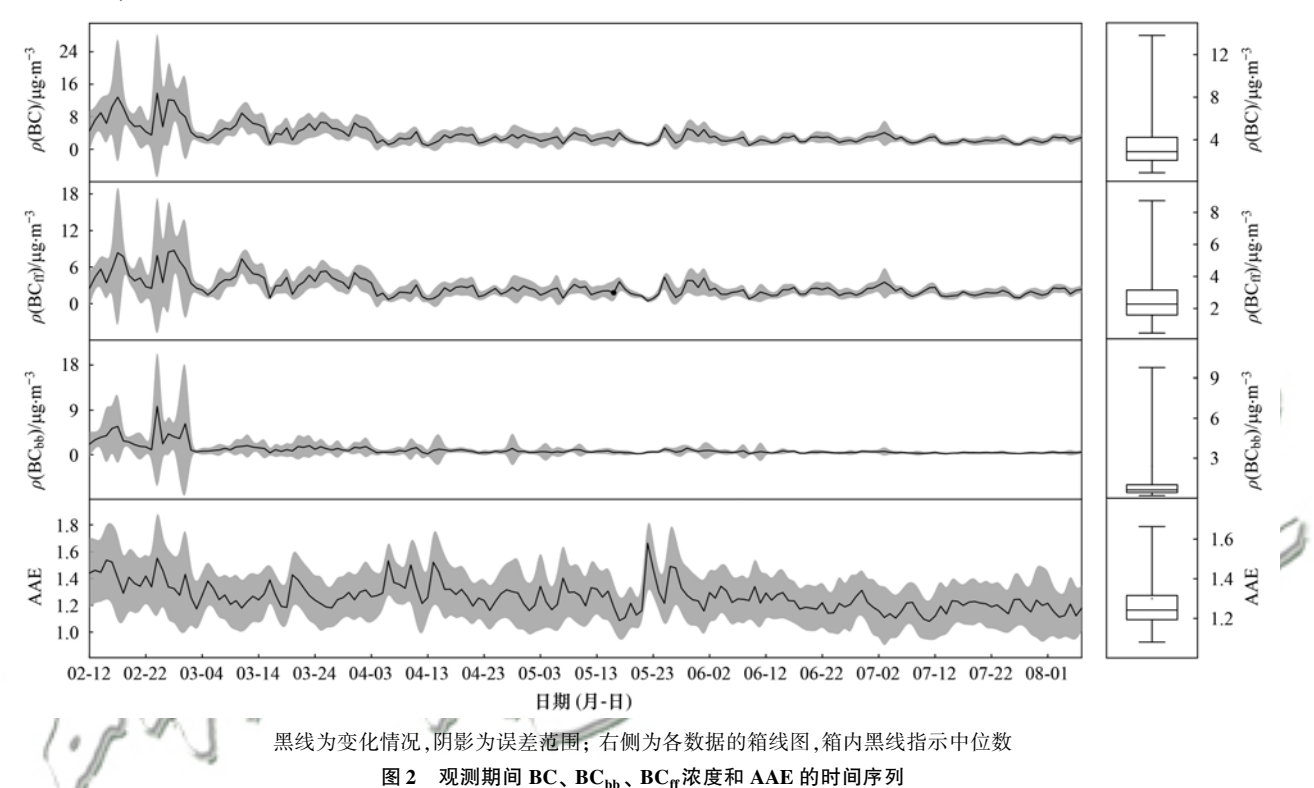


Fig. 2 Time series of the mass concentrations for BC, BC_{bb} , and BC_{ff} and the variation in AAE

2.2 气象和排放对 BC 浓度季节性变化的影响

该点位的 ρ (BC) 表现为冬季最高 [(8.21 ± 3.26) μ g·m⁻³], 春季次之 [(3.49 ± 1.69) μ g·m⁻³], 夏季最低 [(2.37 ± 0.71) μ g·m⁻³]. 冬季 ρ (BC_{ff}) 最高, 为(5.40 ± 8.29) μ g·m⁻³, 春季为(2.69 ± 2.31) μ g·m⁻³, 夏季最低, 为(1.95 ± 1.12) μ g·m⁻³. 冬季 ρ (BC_{bb}) 最高, 为(3.43 ± 6.58) μ g·m⁻³, 春季为(0.92 ± 2.28) μ g·m⁻³, 夏季最低, 为(0.46 ± 0.63) μ g·m⁻³.

2.2.1 气象因素影响

BC 浓度的季节变化与气象条件密切相关. 较大的风速有利于 BC 的水平扩散^[39], 较高的边界层高度有利于 BC 的垂直扩散^[40], 较高温度下 BC 浓度相对较低^[41],相对湿度较大时 BC 易于被清除^[42]. 相关性分析表明, BC 浓度与温度(r = -0.54, P < 0.01)、边界层高度(r = -0.48, P < 0.01)和大气能见度(r = -0.33, P < 0.01)呈显著性负相关; BC

浓度与风速呈负相关(r = -0.10),但并不显著(P = 0.17); BC 浓度与相对湿度也呈并不显著(P = 0.21)的负相关关系(r = -0.10).

本研究期间,温度、相对湿度、大气能见度和边界层高度的季节特征表现为夏季最高、冬季最低.冬季气温低[(6.6 ± 4.6) °C],燃料消耗增多,致使 BC 排放增多[43];边界层高度较低且稳定[(415 ± 419) m],有利于 BC 在地表附近积累[44];相对湿度较低[(59.6 ± 22.0) %],不利于 BC 的清除[45].同时大气能见度为 (8.430 ± 3.166) m,可见冬季较高的 BC 浓度与不利的气象因素有关.夏季边界层高度[(667 ± 656) m]较高,BC 更易于扩散[46];降水频繁(188 mm),相对湿度较高[(71.4 ± 21.2) %],有利于 BC 的湿清除[42];平均温度为 (28.1 ± 4.2) °C,大气能见度为 (8.941 ± 1.933) m,使得夏季BC 浓度较低.

由图 3 可知, 6 月 18 日出现了降水高峰值(62 mm), 当天的 ρ (BC)为一周内最低(1.80 μ g·m⁻³),

降水前 3 d 的 ρ (BC) 为(1.99 ±0.28) μ g·m⁻³, 降水后 3 d 的 ρ (BC) 为(2.87 ±0.38) μ g·m⁻³; 8 月 5 日 也出现了降水高峰值(81 mm), 当天的 ρ (BC) 为一周内最低(1.99 μ g·m⁻³), 降水前 3 d 的 ρ (BC) 为(2.96 ±0.14) μ g·m⁻³, 降水后 3 d 的 ρ (BC) 为(2.71 ±0.45) μ g·m⁻³, 可见降水(相对湿度增大)有利于当日 BC 的清除^[39,47]. 4 月 3 ~9 日, 风速处于较大值[(3.59 ±1.00) m·s⁻¹], 此时风向以北风为主, ρ (BC) 为(2.32 ±1.04) μ g·m⁻³, 远低于前后一个月内的 ρ (BC)[(3.70 ±1.69) μ g·m⁻³]; 5 月 26 日出现了风速最大值(5.33 m·s⁻¹),全天刮北风,当日 ρ (BC)为3.14 μ g·m⁻³,5 月 25 日风向仍以北风为主,

ρ(BC)为 5. 39 μg·m⁻³, 5 月 27 日风向以西北风为 主, ρ(BC)为 1. 54 μg·m⁻³,可见当地北风强劲,较高的风速有利于 BC 的扩散和稀释^[45].

2.2.2 排放的影响

BC浓度不仅受到温度、相对湿度、大气能见度和边界层高度等气象因素的影响,还受到排放源的影响^[48].为识别排放对 BC浓度的影响,本文采用通风系数 VC(边界层高度×水平风速)来表征大气污染物的扩散潜力^[49],并利用 BC/VC 定性反映污染源的排放变化.由表 2 可知,冬季 BC/VC 远高于春季和夏季,BC_{ff}/VC 和 BC_{bb}/VC 在冬季的高值,也表明冬季 BC 的排放量高于春季和夏季.

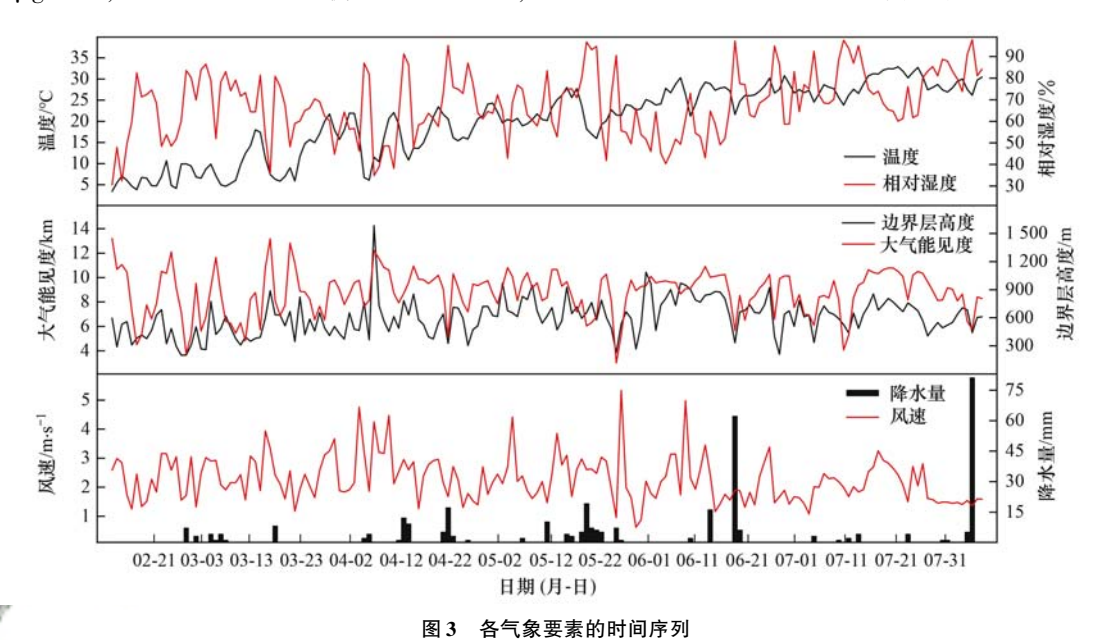


Fig. 3 Time series of meteorological parameters during the observation period

表 2 不同季节 BC/VC、BCff/VC、BCbb/VC、BC/CO、BC/SO2 和 BC/NO2 的比较

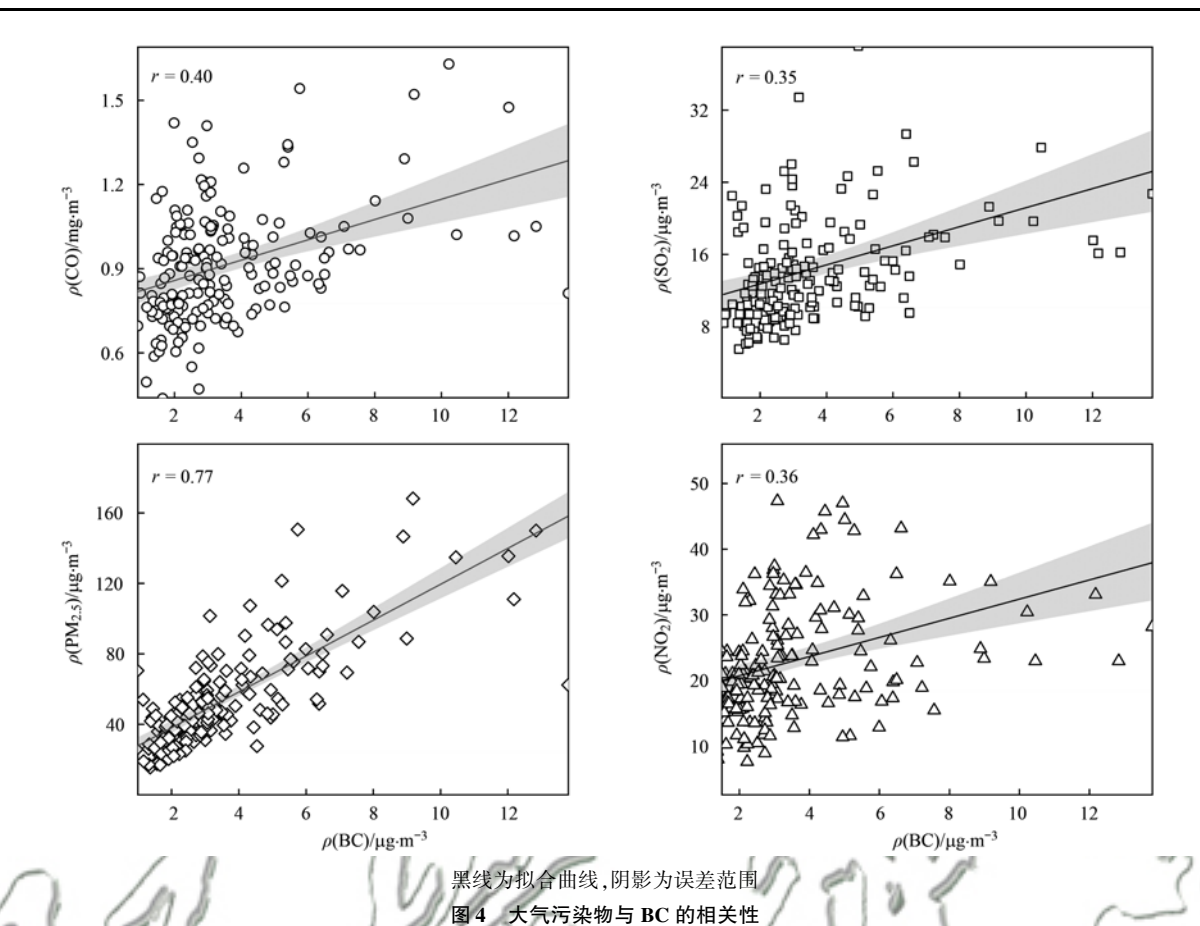
 $\mbox{Table 2} \quad \mbox{Comparison of BC/VC, BC$_{ff}/VC, BC$_{bb}/VC, BC/CO, BC/SO$_2, and BC/NO$_2 in different seasons } \\ \mbox{Table 2} \quad \mbox{Comparison of BC/VC, BC$_{ff}/VC, BC$_{bb}/VC, BC/CO, BC/SO$_2, and BC/NO$_2 in different seasons } \\ \mbox{Table 2} \quad \mbox{Comparison of BC/VC, BC$_{ff}/VC, BC$_{bb}/VC, BC/CO, BC/SO$_2, and BC/NO$_2 in different seasons } \\ \mbox{Table 2} \quad \mbox{Table 2} \quad \mbox{Table 2} \quad \mbox{Table 3} \quad \m$

项目	冬季	春季	夏季
BC/VC	12. 46 ± 11. 13	3. 37 ± 2. 91	1. 98 ± 0. 88
$\mathrm{BC}_{\mathrm{ff}}/\mathrm{VC}$	8.26 ± 7.76	2.90 ± 3.54	1.75 ± 1.05
$\mathrm{BC}_{\mathrm{bb}}/\mathrm{VC}$	4.90 ± 4.14	1.00 ± 1.41	0.41 ± 0.25
BC/CO	0.0070 ± 0.0094	0.0023 ± 0.0015	0.0012 ± 0.0007
$\mathrm{BC/SO}_2$	0.36 ± 0.41	0.15 ± 0.11	0.09 ± 0.05
$\mathrm{BC/NO}_2$	0.28 ± 0.30	0.09 ± 0.07	0.05 ± 0.02

相关性分析表明(图 4),BC 和 $PM_{2.5}$ 呈显著正相关(r=0.77, P<0.01),BC 与 CO(r=0.40, P<0.01)、 $NO_2(r=0.36$, P<0.01)和 $SO_2(r=0.35$, P<0.01)都为正相关.与 BC 类似,大气中的 CO 主要来源于燃烧过程.BC 和 CO 比值的季节性变化可以反映 BC 来源的季节性变化.该点位冬季 BC/CO 为 0.007 0 ± 0.009 4,远高于夏季(0.001 2 ± 0.000 7),表明冬季由生物质燃烧排放 BC 的比例远高于夏季[50]. SO_2 和 NO_2 主要来源于工业固定点源、机动

车尾气等移动源,BC 与 SO₂ 以及 BC 与 NO₂ 比值的季节性特征同样表现为冬季高(BC/SO₂ = 0.36 ± 0.41; BC/NO₂ = 0.28 ± 0.30),夏季低(BC/SO₂ = 0.09 ± 0.05; BC/NO₂ = 0.05 ± 0.02).可以推断,冬季 BC 的排放量高于夏季.

综上,冬季不利的气象条件和较高的排放量导致了 BC 浓度的季节性变化,表现为冬季高[(8.21 \pm 3.26) μ g·m⁻³],夏季低[(2.37 \pm 0.71) μ g·m⁻³].



Correlations between atmospheric pollutants and BC

2.3 清洁日/污染日 BC 浓度的昼夜变化

为区分清洁目和污染日 BC 的变化特征,本文将 $\rho(PM_{2.5})$ <75 $\mu g \cdot m^{-3}$ 定义为清洁天, $\rho(PM_{2.5})$ 处于75~115 $\mu g \cdot m^{-3}$ 定义为轻度污染天, $\rho(PM_{2.5})$ >115 $\mu g \cdot m^{-3}$ 定义为重度污染天. 3 种不同污染条件下的 BC、BC_{ff}、BC_{bb}、AAE、边界层高度和风速的日变化如图 5.

有研究表明,随着空气质量的恶化,大气环境中的 BC 浓度也逐渐增加 $^{[43]}$. 观测期间,清洁天、轻度污染天和重度污染天的 ρ (BC) 分别为 (2.79 ± 4.06) 、 (5.97 ± 7.64) 和 (9.49 ± 9.56) μ g·m $^{-3}$. 从清洁天到重度污染天,BC、BC_{ff}和 BC_{bb}的浓度分别增加了 240%、190% 和 314%. 化石燃料燃烧对 BC浓度的贡献率在污染日下降了 6%. 在不同的空气质量条件下,AAE 值也出现了不同程度的变化 $^{[22]}$. 清洁天、轻度污染天和重度污染天的 AAE 分别为 1.27 ± 0.17 、 1.32 ± 0.20 和 1.36 ± 0.17 ,AAE 值从清洁天到重度污染天增长了 7%,佐证了污染日生物质燃烧贡献率的增加.

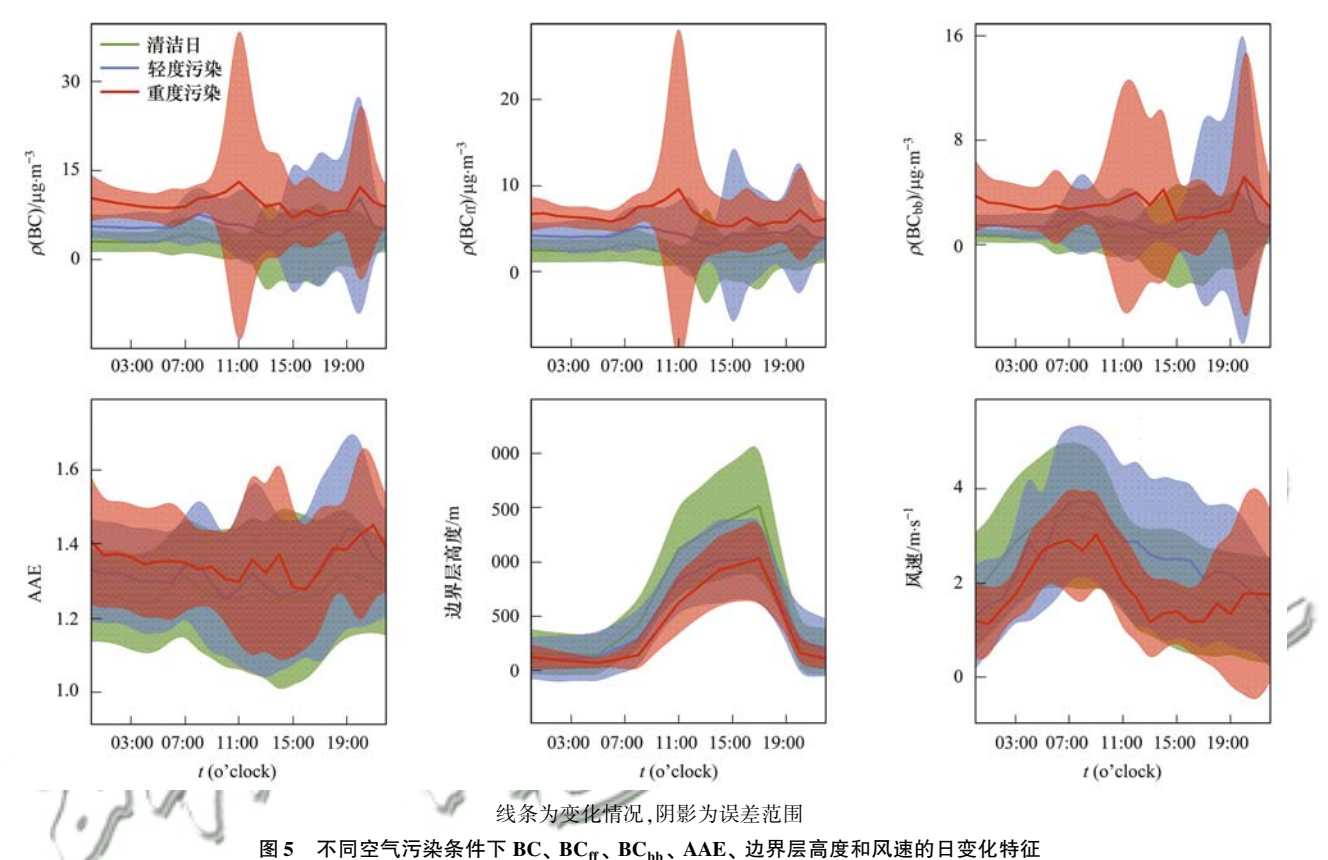
重度污染天时, $11:00[(13.11 \pm 32.66)$ $\mu g \cdot m^{-3}]$ 和 $20:00[(12.28 \pm 19.20) \mu g \cdot m^{-3}]$ 出现了 $\rho(BC)$ 高峰值;轻度污染天时, $08:00[(7.66 \pm 4.89) \mu g \cdot m^{-3}]$ 和 $20:00[(10.29 \pm 23.73) \mu g \cdot m^{-3}]$

出现了 $\rho(BC)$ 高峰值. 污染日的午间和晚间 BC 污染强度最大 $^{[51]}$. BC $_{\rm fi}$ 浓度的日变化情况与 BC 浓度的日变化情况一致,重度污染天, $11:00[(9.55\pm24.99)\,\mu{\rm g\cdot m^{-3}}]$ 和 $20:00[(7.08\pm6.84)\,\mu{\rm g\cdot m^{-3}}]$ 出现 $\rho(BC_{\rm ff})$ 高峰值;轻度污染天, $20:00[(5.37\pm9.65)\,\mu{\rm g\cdot m^{-3}}]$ 出现 $\rho(BC_{\rm ff})$ 高峰值. BC $_{\rm bb}$ 浓度的日变化情况与 BC 浓度日变化情况较为相近, $14:00[(4.23\pm7.86)\,\mu{\rm g\cdot m^{-3}}]$ 和 $20:00[(5.20\pm13.14)\,\mu{\rm g\cdot m^{-3}}]$ 重度污染天出现了 $\rho(BC_{\rm bb})$ 高峰值, $20:00[(4.92\pm15.36)\,\mu{\rm g\cdot m^{-3}}]$ 轻度污染天出现了 $\rho(BC_{\rm bb})$ 高峰值. 可见在污染日晚间,化石燃料燃烧和生物质燃烧都对 BC 浓度有较高贡献.

清洁天的边界层高度[(630 ± 611) m]高于轻度污染天[(479 ± 451) m]和重度污染天[(393 ± 399) m]. 全天边界层高度在 $08:00 \sim 17:00$ 逐渐升高,在 $17:00 \sim 20:00$ 迅速下降,夜间边界层高度趋于稳定. 风速在清洁天[(2.29 ± 1.45) m·s⁻¹]与轻度污染天[(2.42 ± 1.61) m·s⁻¹]相近,大于重度污染天[(1.82 ± 1.24) m·s⁻¹]. 全天风速在 $00:00 \sim 07:00$ 逐渐上升, $08:00 \sim 16:00$ 逐渐下降,之后处于稳定状态. 清晨边界层高度低[(218 ± 194) m],风速相对较大[(3.35 ± 1.47) m·s⁻¹],容易携带周边地区的大气污染物,夜间形成的稳定边界层一定

程度上限制了 BC 的扩散. 大气中的 BC 浓度自 05:00开始升高,在 09:00 达到峰值[(4.52 ± 3.48) $\mu g \cdot m^{-3}$]; 08:00 开始,大气边界层逐渐抬升[(383 ± 241) m],随着大气污染物的垂向扩散, ρ (BC) 开始下降,并在 14:00 达到谷值[(2.44 ± 3.33) $\mu g \cdot m^{-3}$]; 傍晚(20:00) 边界层高度迅速降低至

 (200 ± 232) m、风速减弱至 (1.57 ± 1.22) m·s⁻¹,大气污染物扩散速度减慢, $\rho(BC)$ 逐渐上升并在 20:00 达到峰值[(4.25 ± 6.73) μg·m⁻³];夜间大气边界层高度[(164 ± 204) m]和风速[(1.79 ± 1.23) m·s⁻¹] 稳定,人为活动减少, $\rho(BC)$ 趋于稳定[(3.63 ± 2.52) μg·m⁻³].



Diurnal variation in BC, BC_{ff}, BC_{bb}, AAE, height of boundary layer, and wind speed under different air pollution conditions

在不同的污染条件下,BC、BC_{ff}和 BC_{bb}出现峰值的时间并不固定.可见该地区农村点位的 BC 排放源存在随机性和复杂性^[22].由图 6 可知,化石燃料燃烧

贡献是该地区 BC 的主要来源,重度污染天生物质燃烧的贡献率高于其它季节,其生物质燃烧贡献率达32.3%;清洁天生物质燃烧贡献率最小,为25.0%.

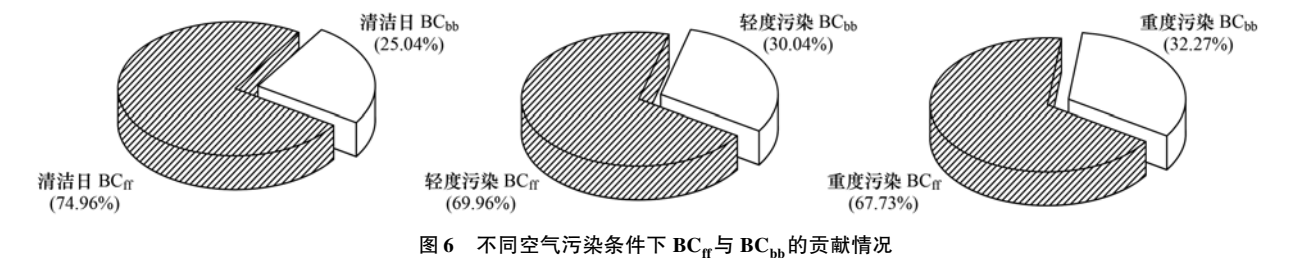


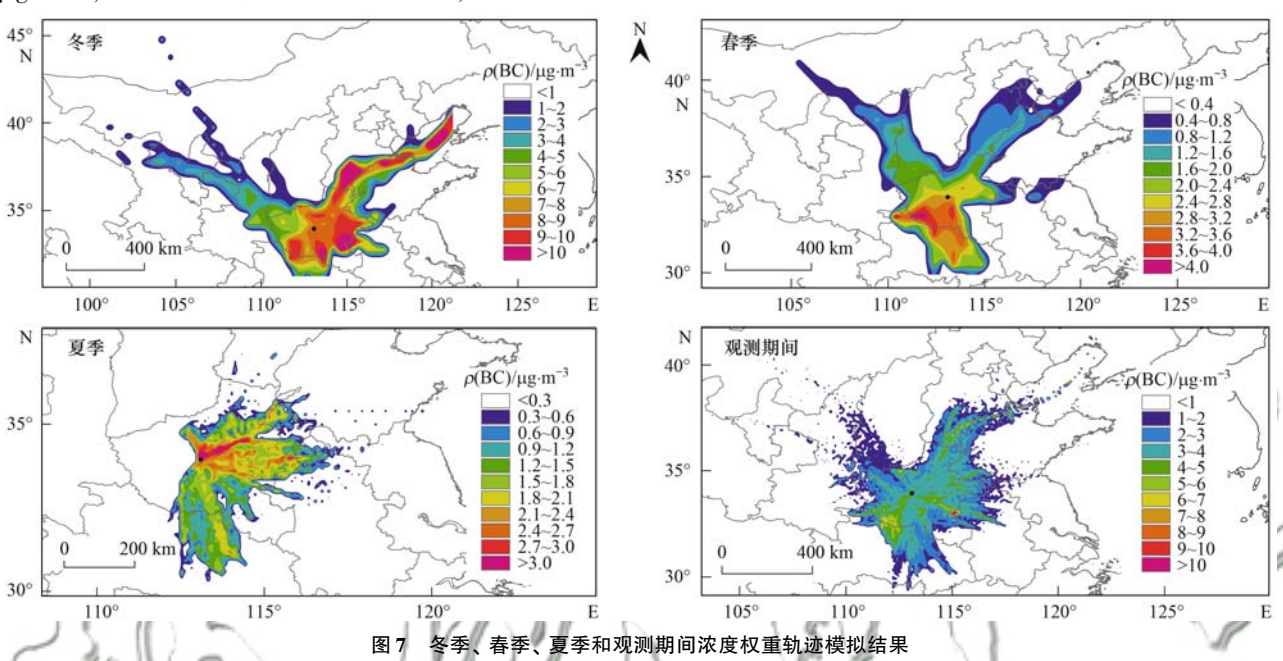
Fig. 6 Contribution of BC_{ff} and BC_{bb} under different air pollution conditions

2.4 BC 潜在源区差异

在整个观测期间,来自山东西南部的气团所占比例最高,达到35.9%.其次是来自湖北中部和河南南部的气团,贡献比例分别为24.4%和23.8%.不同季节气团的来源并不相同,冬季和春季观测点位存在明显的北方大气传输,西北方气团对当地BC浓度的贡献率分别为15.7%和26.8%,东北方气团

对当地 BC 浓度的贡献率分别为 24.3% 和 27.6%. 夏季则仅有来自华北平原东部地区和南方地区 (33.7%)的气团. 由此可见,不同地区的气团贡献 差异导致了 BC 潜在地理来源的差异.

冬季、春季、夏季和整个观测期间的 BC 浓度 权重轨迹分析(CWT)结果如图 7 所示. 冬季较大的 CWT 值($>9.00~\mu g \cdot m^{-3}$)分布在河南东南部和南 部、河北南部和山东北部地区. 有研究表明,河南省年均 BC 排放量为 117.6 kt,平顶山市的排放量位居全省第二(9.5%)^[52];河北省的 BC 年均排放量为 136.7 kt,山东省的 BC 年均排放量为 139.0 kt,且山东省冬季的 BC 排放量约为夏季的两倍^[53].可见该地区在冬季受华北平原东部地区 BC 排放的影响大于西部地区. 春季,较大的 CWT 值(>4.00μg·m⁻³)出现在河南南阳和襄阳地区,南阳市是河



前[48].

Fig. 7 Results of concentration-weighted trajectory (CWT) of BC in winter, spring, summer, and whole observation period

3 结论

- (1) 本研究期间, ρ (BC) 平均值为(3.51 ± 2.29) μ g·m⁻³,冬季、春季和夏季的 ρ (BC) 平均值为(8.21 ± 3.26)、(3.49 ± 1.69) 和(2.37 ± 0.71) μ g·m⁻³,气象因素和排放源的季节性变化共同导致了 BC 的季节性变化.
- (2) AAE 的值介于 1.08~1.66 之间,表明该区域 BC 来源以化石燃料燃烧贡献为主.研究期间生物质燃烧对 BC 的贡献为(28±10)%;冬季生物质燃烧贡献最高[(41±12)%],夏季贡献最低[(20±4)%].
- (3)污染日午间[(13.11 ± 32.66) μ g·m⁻³]和晚间[(12.28 ± 19.20) μ g·m⁻³]的 ρ (BC)最高,污染日午后的化石燃料燃烧对BC的贡献率更多[(73 ± 67)%],午间生物质燃烧贡献率上升[(18 ± 75)%],晚间生物质燃烧贡献率[(38 ± 66)%]高于白天;该地区农村点位的BC排放源存在随机性和复杂性.
- (4)柴火堆取暖、民用煤炉使用等局地人为活动,以及河北南部、河南东南部、山东北部、湖北北

部等地污染输送导致该点位冬季 BC 浓度增高. 参考文献:

[1] Kuhlbusch T A J. Black carbon and the carbon cycle [J]. Science, 1998, 280 (5371): 1903-1904.

南省碳质气溶胶排放量较大的地区[54],已经成为

了一个 BC 排放的重点关注区域. 河南和湖北地区

[0.6~1.0 g·(m²·a) -1]的 BC 排放量高于其他地

区[22],两省交界处也属于大气污染区域. 夏季,较

大的 CWT 值(> 2.70 μg·m⁻³) 出现在河南中部地

区. 有研究表明,平顶山市因煤炭资源丰富(占全

省煤炭产量 35.1%), 是河南省 BC 排放的主要城

- [2] Jacobson M Z. Strong radiative heating due to the mixing state of black carbon in atmospheric aerosols [J]. Nature, 2001, 409 (6821): 695-697.
- [3] Ramanathan V, Carmichael G. Global and regional climate changes due to black carbon [J]. Nature Geoscience, 2008, 1 (4): 221-227.
- [4] Menon S, Hansen J, Nazarenko L, et al. Climate effects of black carbon aerosols in China and India [J]. Science, 2002, 297 (5590): 2250-2253.
- [5] Geng F H, Hua J, Mu Z, et al. Differentiating the associations of black carbon and fine particle with daily mortality in a Chinese city[J]. Environmental Research, 2013, 120: 27-32.
- [6] Wang X, Chen R J, Meng X, et al. Associations between fine particle, coarse particle, black carbon and hospital visits in a Chinese city[J]. Science of the Total Environment, 2013, 458-460: 1-6.
- [7] Jeong C H, Herod D, Dabek-Zlotorzynska E, et al. Identification of the sources and geographic origins of black carbon using factor analysis at paired rural and urban sites [J]. Environmental Science & Technology, 2013, 47 (15): 8462-8470.
- [8] McDuffie E E, Smith S J, O'Rourke P, et al. A global anthropogenic emission inventory of atmospheric pollutants from

- sector- and fuel- specific sources (1970-2017); an application of the Community Emissions Data System (CEDS) [J]. Earth System Science Data, 2020, 12(4); 3413-3442.
- [9] Vaishya A, Singh P, Rastogi S, et al. Aerosol black carbon quantification in the central Indo-Gangetic Plain; seasonal heterogeneity and source apportionment [J]. Atmospheric Research, 2017, 185; 13-21.
- [10] Liu D, Li J, Zhang Y L, et al. The use of levoglucosan and radiocarbon for source apportionment of PM_{2.5} carbonaceous aerosols at a background site in East China [J]. Environmental Science & Technology, 2013, 47(18): 10454-10461.
- [11] Wang R, Tao S, Wang W T, et al. Black carbon emissions in China from 1949 to 2050 [J]. Environmental Science & Technology, 2012, 46(14): 7595-7603.
- [12] Zhang Q, Shen Z X, Zhang T, et al. Spatial distribution and sources of winter black carbon and brown carbon in six Chinese megacities[J]. Science of the Total Environment, 2021, 762, doi: 10.1016/j. scitotenv. 2020. 143075.
- [13] Ni H Y, Huang R J, Cosijn M M, et al. Measurement report: dual-carbon isotopic characterization of carbonaceous aerosol reveals different primary and secondary sources in Beijing and Xi'an during severe haze events[J]. Atmospheric Chemistry and Physics, 2020, 20(24): 16041-16053.
- [14] Li Y, Meng J, Liu J F, et al. Interprovincial reliance for improving air quality in China; a case study on black carbon aerosol [J]. Environmental Science & Technology, 2016, 50 (7): 4118-4126.
- [15] Chen H P, Wang H J. Haze days in north China and the associated atmospheric circulations based on daily visibility data from 1960 to 2012 [J]. Journal of Geophysical Research, 2015, 120(12): 5895-5909.
- [16] Wang Z L, Huang X, Ding A J. Dome effect of black carbon and its key influencing factors: a one-dimensional modelling study [J]. Atmospheric Chemistry and Physics, 2018, 18(4): 2821-2834.
- [17] Calkins C, Ge C, Wang J, et al. Effects of meteorological conditions on sulfur dioxide air pollution in the North China plain during winters of 2006-2015 [J]. Atmospheric Environment, 2016, 147: 296-309.
- [18] An Z S, Huang R J, Zhang R Y, et al. Severe haze in northern China: a synergy of anthropogenic emissions and atmospheric processes [J]. Proceedings of the National Academy of Sciences of the United States of America, 2019, 116(18): 8657-8666.
- [19] Huang R J, Zhang Y L, Bozzetti C, et al. High secondary aerosol contribution to particulate pollution during haze events in China[J]. Nature, 2014, 514(7521): 218-222.
- [20] Zhang K, Ge L L, Li X J, et al. Monitoring ground surface deformation over the North China Plain using coherent ALOS PALSAR differential interferograms [J]. Journal of Geodesy, 2013, 87(3): 253-265.
- [21] Li H Y, Zhang Q, Zhang Q, et al. Wintertime aerosol chemistry and haze evolution in an extremely polluted city of the North China Plain: significant contribution from coal and biomass combustion[J]. Atmospheric Chemistry and Physics, 2017, 17 (7): 4751-4768.
- [22] Zheng H, Kong S F, Wu F Q, et al. Intra-regional transport of black carbon between the south edge of the North China Plain and central China during winter haze episodes [J]. Atmospheric Chemistry and Physics, 2019, 19(7): 4499-4516.
- [23] Kompalli S K, Babu S S, Moorthy K K, et al. Aerosol black carbon characteristics over Central India; temporal variation and

- its dependence on mixed layer height [J]. Atmospheric Research, 2014, 147-148; 27-37.
- [24] Zhang L, Luo Z H, Du W, et al. Light absorption properties and absorption emission factors for indoor biomass burning [J]. Environmental Pollution, 2020, 267, doi: 10.1016/j.envpol. 2020.115652.
- [25] Becerril-Valle M, Coz E, Prévôt A S H, et al. Characterization of atmospheric black carbon and co-pollutants in urban and rural areas of Spain[J]. Atmospheric Environment, 2017, 169: 36-53.
- [26] Zotter P, Herich H, Gysel M, et al. Evaluation of the absorption Ångström exponents for traffic and wood burning in the Aethalometer-based source apportionment using radiocarbon measurements of ambient aerosol [J]. Atmospheric Chemistry and Physics, 2017, 17(6): 4229-4249.
- [27] Sandradewi J, Prévôt A S H, Szidat S, et al. Using aerosol light absorption measurements for the quantitative determination of wood Burning and traffic emission contributions to particulate matter [J]. Environmental Science & Technology, 2008, 42 (9): 3316-3323.
- [28] Liu Y, Yan C Q, Zheng M. Source apportionment of black carbon during winter in Beijing [J]. Science of the Total Environment, 2018, 618: 531-541.
- [29] Zhao J W, Liu Y X, Shan M, et al. Characteristics, potential regional sources and health risk of black carbon based on ground observation and MERRA-2 reanalysis data in a coastal city, China [J]. Atmospheric Research, 2021, 256, doi: 10.1016/j. atmosres. 2021. 105563.
- [30] 齐孟姚, 王丽涛, 张城瑜, 等. 邯郸市黑碳气溶胶浓度变化及影响因素分析[J]. 环境科学学报, 2018, **38**(5): 1751-1758.

 Qi M Y, Wang L T, Zhang C Y, et al. Variation of black carbon aerosol concentration and its influencing factors in Handan City, Hebei Province [J]. Acta Scientiae Circumstantiae, 2018, **38**
- [31] Zhou H C, Lin J J, Shen Y, et al. Personal black carbon exposure and its determinants among elderly adults in urban China [J]. Environment International, 2020, 138, doi: 10. 1016/j. envint. 2020. 105607.
- [32] Peng X, Liu M, Zhang Y, et al. The characteristics and local-regional contributions of atmospheric black carbon over urban and suburban locations in Shanghai, China [J]. Environmental Pollution, 2019, 255, doi: 10.1016/j.envpol.2019.113188.
- [33] 杨晓旻, 施双双, 张晨, 等. 南京市黑碳气溶胶时间演变特征及其主要影响因素[J]. 环境科学, 2020, **41**(2): 620-629.
 - Yang X M, Shi S S, Zhang C, et al. Temporal evolution and main influencing factors of black carbon aerosol in Nanjing[J]. Environmental Science, 2020, 41(2): 620-629.
- [34] Jing A K, Zhu B, Wang H L, et al. Source apportionment of black carbon in different seasons in the northern suburb of Nanjing, China [J]. Atmospheric Environment, 2019, 201: 190-200.
- [35] 关亚楠, 卢晶晶, 张毅森, 等. 石家庄南郊黑碳气溶胶污染特征与来源分析[J]. 环境科学学报, 2020, **40**(9): 3146-3154.
 - Guan Y N, Lu J J, Zhang Y S, *et al.* Pollution characteristics and source apportionment of black carbon aerosol in the south suburb of Shijiazhuang City[J]. Acta Scientiae Circumstantiae, 2020, **40**(9): 3146-3154.
- [36] Chen T Z, Liu J, Liu Y C, et al. Chemical characterization of

- submicron aerosol in summertime Beijing: a case study in southern suburbs in 2018 [J]. Chemosphere, 2020, 247, doi: 10.1016/j.chemosphere.2020.125918.
- [37] Ran L, Deng Z Z, Wang P C, et al. Black carbon and wavelength-dependent aerosol absorption in the North China Plain based on two-year aethalometer measurements [J]. Atmospheric Environment, 2016, 142: 132-144.
- [38] 魏夏潞, 王成刚, 凌新锋, 等. 安徽寿县黑碳气溶胶浓度观测分析研究[J]. 环境科学学报, 2019, **39**(11): 3630-3638. Wei X L, Wang C G, Ling X F, et al. Observational study of black carbon at Shouxian in Anhui Province[J]. Acta Scientiae Circumstantiae, 2019, **39**(11): 3630-3638.
- [39] Tiwari S, Srivastava A K, Bisht D S, et al. Diurnal and seasonal variations of black carbon and PM_{2.5} over New Delhi, India; influence of meteorology[J]. Atmospheric Research, 2013, 125-126: 50-62.
- [40] Li J, Fu Q Y, Huo J T, et al. Tethered balloon-based black carbon profiles within the lower troposphere of Shanghai in the 2013 East China smog [J]. Atmospheric Environment, 2015, 123: 327-338.
- [41] Barman N, Gokhale S. Urban black carbon-source apportionment, emissions and long-range transport over the Brahmaputra River Valley [J]. Science of the Total Environment, 2019, 693, doi: 10.1016/j.scitotenv.2019.07.383.
- [42] Tyagi S, Tiwari S, Mishra A, et al. Characteristics of absorbing aerosols during winter foggy period over the National Capital Region of Delhi: impact of planetary boundary layer dynamics and solar radiation flux[J]. Atmospheric Research, 2017, 188: 1-10.
- [43] Xiao H W, Mao D Y, Huang L L, et al. Evaluation of black carbon source apportionment based on one year's daily observations in Beijing [J]. Science of the Total Environment, 2021, 773, doi: 10.1016/j.scitotenv.2021.145668.
- [44] de Arruda Moreira G, Guerrero-Rascado J L, Bravo-Aranda J A, et al. Study of the planetary boundary layer height in an urban environment using a combination of microwave radiometer and ceilometer [J]. Atmospheric Research, 2020, 240, doi: 10. 1016/j. atmosres. 2020. 104932.
- [45] Meena G S, Mukherjee S, Buchunde P, et al. Seasonal variability and source apportionment of black carbon over a rural high-altitude and an urban site in western India [J]. Atmospheric

- Pollution Research, 2021, 12(2): 32-45.
- [46] Chen X T, Kang S C, Yang J H. Investigation of distribution, transportation, and impact factors of atmospheric black carbon in the Arctic region based on a regional climate-chemistry model [J]. Environmental Pollution, 2020, 257, doi: 10.1016/j. envpol. 2019. 113127.
- [47] Choi Y, Kanaya Y, Takigawa M, et al. Investigation of the wet removal rate of black carbon in East Asia: validation of a belowand in-cloud wet removal scheme in FLEXible PARTicle (FLEXPART) model v10. 4 [J]. Atmospheric Chemistry and Physics, 2020, 20(21): 13655-13670.
- [48] Liu S H, Hua S B, Wang K, et al. Spatial-temporal variation characteristics of air pollution in Henan of China: Localized emission inventory, WRF/Chem simulations and potential source contribution analysis [J]. Science of the Total Environment, 2018, 624: 396-406.
- [49] Saha D, Soni K, Mohanan M N, et al. Long-term trend of ventilation coefficient over Delhi and its potential impacts on air quality [J]. Remote Sensing Applications: Society and Environment, 2019, 15, doi: 10.1016/j.rsase.2019.05.003.
- [50] Girach I A., Nair V S., Babu S S., et al. Black carbon and carbon monoxide over Bay of Bengal during W_ICARB; source characteristics[J]. Atmospheric Environment, 2014, 94; 508-517.
- [51] Ramachandran S, Rajesh T A, Cherian R. Black carbon aerosols over source vs. background region: atmospheric boundary layer influence, potential source regions, and model comparison [J]. Atmospheric Research, 2021, 256, doi: 10.1016/j.atmosres. 2021.105573.
- [52] Zhang H, Yin S S, Bai L, et al. Establishment and evaluation of anthropogenic black and organic carbon emissions over Central Plain, China [J]. Atmospheric Environment, 2020, 226, doi: 10.1016/j.atmosenv.2020.117406.
- [53] Liu X Y, He K B, Zhang Q, et al. Analysis of the origins of black carbon and carbon monoxide transported to Beijing, Tianjin, and Hebei in China [J]. Science of the Total Environment, 2018, 653; 1364-1376.
- [54] Li C L, Hu Y J, Zhang F, et al. Multi-pollutant emissions from the burning of major agricultural residues in China and the related health-economic effects[J]. Atmospheric Chemistry and Physics, 2017, 17(8): 4957-4988.

HUANJING KEXUE

Environmental Science (monthly)

Vol. 43 No. 5 May 15, 2022

CONTENTS

Chemical Characteristics and Source Apportionment of PM _{2.5} in Urban Area of Beijing ·····	····· AN Xin-xin, CAO Yang, WANG Qin, et al. (2251)
Modeling of PM _{2,5} Concentrations in the Beijing-Tianjin-Hebei Region Using a Space-time Linear Mixed Effects Model	··· FAN Li-hang, YANG Xiao-hui, SONG Chun-jie, et al. (2262)
Spatio-temporal Evolution Patterns of PM _{2.5} and Relationship with Urban Expansion in Beijing-Tianjin-Hebei Urban Agglomeration fr	ZHAO An-zhou, XIANG Kai-zheng, LIU Xian-feng, et al. (2274)
Characteristics and Source Analysis of PM _{2.5} in Qingdao in Winter Under the Action of Sea-Land-Atmosphere Convergence	
Impacts of Heterogeneous Uptake Pathway on Sulfate Formation; A Case Study in Shanghai Based on WRF-Chem ZI	, , , , , , , , , , , , , , , , , , , ,
Source Apportionment and Seasonal Changes in PM _{2,5} Chemical Components from Different Functional Areas of a Provincial Capital	
Chemical Compositions, Light Extinction Effect, and Oxidative Potential of PM _{2.5} Under Different Pollution Levels During Winter in	Taiyuan
Source Apportionment and Health Risk Assessment of Metal Elements in Ambient PM _{2,5} in the Winter of Zhengzhou	
Characteristics, Ecological Risk Assessment, and Sources of the Polluted Metallic Elements in PM _{2.5} During Winter in Zibo City ···	BAI Wen-yu, XU Bo, GUO Li-yao, et al. (2336)
Seasonal Distribution Characteristics, Source Analysis, and Health Risk Evaluation of PAHs in PM2 5 in Chengde	····· HE Bo-wen, NIE Sai-sai, LI Yi-lin, et al. (2343)
Pollution Level and Regional Migration of PCDD/Fs in Ambient Air from Pearl River Delta, China	·· FU Jian-ping, XIE Dan-ping, HUANG Jin-qiong, et al. (2355)
Concentrations and Sources of Black Carbon Aerosols in Rural Areas of Southern North China Plain	
Research on Causes of Severely Polluted Weather in Tianjin Based on Process Analytical Technology	
Classification Control of Volatile Organic Compounds (VOCs) Emission Pollution Sources Based on Emission Amounts and Atmospher	TIC RESCRIVITY THEN Peng ZHANG YUE XING Min et al. (2383)
Complex Networks Reveal the Characteristics of Ozone in China	
Ozone Simulation of Lanzhou City Based on Multi-scenario Emission Forecast of Ozone Precursors in the Summer of 2030	CHEN Tian-lei, WU Min, PAN Cheng-ke, et al. (2403)
Improvement of Environmental Model Prediction Based on Inversion and Aerosol Assimilation	
Method of Identifying Air Pollution from Iron and Steel Industry Based on Ambient Air Quality Monitoring Data Analysis	SHI Yao-peng, HU Jing-nan, CHU Yang-xi, et al. (2427)
Assessment of "Differentiated Response Requirement Based on Performance Grading" Plolicy During Heavy Air Pollution Alert	ZENG Jing-hai, WANG Can (2436)
Risk Zoning of Water Pollution in the Yellow River Basin Emission Characteristics of Industrial Water Pollutants in Gansu Section of the Yellow River Basin	ZHOU Xia-lei, CAO Guo-zhi, YU Fang, et al. (2448)
Spatial-temporal Distribution and Pollution Assessment of Heavy Metals in Sediments of the Yellow River	
APCS-MLR Combined with PMF Model to Analyze the Source of Metals in Sediment of Xinglin Bay Suburban Watershed, Xiamen	
Spatial Differentiation Characteristics and Response Relationship of DOM, Nutrients, and Heavy Metals in River Sediments	XIAO Yan-chun, YU Hui-bin, SONG Yong-hui (2489)
Distribution Characteristics, Evaluation, and Source Analysis of Heavy Metals in Soils of Fenhe Riparian Zone in Taiyuan City	HU Jie, ZHAO Xin-yu, WANG Ting-ting, et al. (2500)
Binding Affinity Between Heavy Metal Hg and Dissolved Organic Matter in Hongze Lake	
Ecosystem Evolutionary Trajectory of Lake Xiliang over the Past Century Driven by Eutrophication	
Sediment Release and Pollution Source Analysis of Typical Reservoirs in the Upper Reaches of the Yellow River Based on DGT Tech	inology MA V., shop. 7HII Vieng DANC Oing ging et al. (2527)
Differential Characteristics and Source Identification of Water Quality of the Rivers in Northern Henan Before and After Rainstorm	
Adsorption and Interception Effects of Eichhornia crassipes on Microplastics in Water of the Poyang Lake Basin	
Spatiotemporal Distribution and Ecological Risk Assessment of Plastic Additives in Taihu Lake	
Distribution Characteristics, Sources, and Storage of Microplastics in Surface Sediments of Luoma Lake	
Pollution Characteristics of Phosphorus in Different Media in Taihu Lake and Its Treatment Enlightenment	
Analysis on Diversity and Structure of Microbial Community in River Sediment of Siping Section of Liaohe River	
Non-point Source Pollution (NPSP) Induces Structural and Functional Variation in Bacterial Communities in Sediments of Jialing Riv Effects of Microplastics on Bacterial Community Composition and Diversity in Sediments	ver XUE Yu-qin, XU Fei, LIU Kun-he, et al. (2595)
Vertical Distribution Characteristics and Community Construction of Aerobic Denitrification Bacteria from the Sediments of Baiyangdia	an Lake During the Winter Freezing Period
	ZHANG Tian-na, CHEN Zhao-ying, ZHANG Zi-wei, et al. (2614)
Effect of Induced Mixing on Bacterial Community Structure and Metabolic Activity in Reservoir	GAO Yue, HUANG Ting-lin, LI Nan, et al. (2624)
Distribution Characteristics of Microplastics in Bellamya aeruginosa in Typical Area of Poyang Lake	
Electrocatalytic Oxidation of Bisphenol A by Porous Ti/SnO ₂ -Sb-Ni Electrode Loaded with Multi-wall Carbon Nanotubes	FU Yuan-hang, LIU An-di, HUANG Wei-bin, et al. (2640)
Efficiency and Mechanism of Degradation of Methylene Blue with H ₂ O ₂ Catalyzed by Magnetic Mn _{0.6} Zn _{0.4} Fe ₂ O ₄ @ SiO ₂ Effect of Two Types of Nanoparticles on the Adsorption of Ciprofloxacin on Zeolite	
Adsorption Mechanisms and Effect Factors of As(V) by AMD Sludge Composite Material	
Shifts in Microbial Community and Variation in Functional Genes for Nitrification and Denitrification in Activated Sludge Affected by	Triclosan and Its Transformed Intermediates
	·· LU Ying-yuan, DONG Xiao-qi, PENG Xing-xing, et al. (2685)
Construction of Sustainability Evaluation Index System for Contaminated Site Risk Management and Analysis on Key Influential Factor	, , , , , , , , , , , , , , , , , , , ,
Construction and Empirical Analysis of a Comprehensive Evaluation Method of Coastal Wetland Soil Quality Based on Ecological Fun	nctions THANG V. VONG F. L. HANG 7L: -: (2700)
Source Analysis and Pollution Assessment of Heavy Metals in Farmland Soil Around Tongshan Mining Area	
Effects of Typical Iron and Manganese Minerals on Arsenic Speciation and Enzyme Activities in Paddy Soil	
Phytoremediation Efficiency of Two Cultivars of Brassica napus L. Under Water-soluble Chitosan Treatment in Typical Ph-contaminate	ed Farmland Soils ·····
	MENG Xiao-fei , ZHENG Guo-di , CHEN Tong-bin , $\it et~al.~(2741)$
Risk Prediction of Cadmium and Lead in Wheat Grains Based on Bayes Theorem	
Interannual Variation Characteristics of Nitrogen Loss Under Rapeseed/Maize Rotation in Purple Soil Sloping Field	
Physicochemical Properties of Biochars Prepared from Different Feedstocks and Evaluation of Its Potential as A Slow-release Carriers	OF BIOCHAR-DASSED FERTILIZERS
Effects of Combined Application of Wood Vinegar-Acidified Biochar and Nitrogen on Active Nitrogen and Ammonia Volatilization in S	Saline Soil · · · · · · · · · · · · · · · · · · ·
	SHEN Shu-wei, ZHANG Dan-dan, WANG Min-ge, et al. (2779)
$Effects\ of\ Biodegradable\ Plastic\ Film\ Mulching\ on\ Greenhouse\ Gas\ Emissions\ Under\ Wheat-Maize\ Rotation\ System\ in\ the\ Guanzhong$	Plain
Forest Soil Microbial Community Structure Characteristics and Its Influencing Factors at Different Elevations on the Southern Slope of	f Daivan Mountain
Forest Soil Microbial Community Structure Characteristics and its influencing ractors at Different Elevations on the Southern Stope of	······ HE Zhong-sheng, WANG Zi-wei. ZHU Jing. et al. (2802)
Effects of Simulated Warming and Increased Precipitation on Soil Extracellular Enzyme Activity and Enzymatic Stoichiometry of Abances	ndoned Grassland
	····· WANG Xing, ZHONG Ze-kun, JIAN Jun-nan, et al. (2812)
Contribution of Urbanization to Local Warming in Major Cities of China	LI Yu, ZHOU De-cheng, YAN Zhang-mei, et al. (2822)